

汉黄芩素调节 Notch 信号通路对脑缺血/再灌注模型小鼠神经细胞凋亡的影响

张乐国 朱翠敏 夏瑞雪 贾建普 张丽冉 赵泽宇 霍虹达 齐曼曼

【摘要】目的 探讨汉黄芩素(Wogonin, WOG)通过调节 Notch 信号通路对脑缺血/再灌注模型(Ischemia/reperfusion, I/R)小鼠神经细胞凋亡的影响。**方法** 采用改良线栓堵塞法建立 I/R 小鼠模型, 建模成功后将小鼠随机分为假手术组(Sham 组)、模型组(I/R 组)、汉黄芩素低、中、高剂量组(WOG-L 组、WOG-M 组、WOG-H 组), 汉黄芩素高剂量 + Notch 信号通路抑制剂组[WOG + 3,5-二氟苯乙酰基]-L-丙氨酰基-L-2-苯基甘氨酸叔丁酯(DAPT)组], 每组各 15 只; 采用神经功能缺损评分评价小鼠神经功能损伤, 苏木素-伊红(He-matoxylin and eosin, HE)染色法、原位末端标记法(TDT mediated dUTP nick end labeling, Tunel)观察小鼠脑组织海马 CA1 区病理情况及神经细胞凋亡情况, 2,3,5-氯化三苯基四氮唑(2,3,5-Triphenyltetrazolium chloride, TTC)染色法计算小鼠脑梗死体积, 酶联免疫吸附测定法(Enzyme-linked immunosorbent assay, ELISA)法检测海马组织中肿瘤坏死因子- α (Tumor necrosis factor- α , TNF- α)、白细胞介素-6(Interleukin 6, IL-6)水平, Western blot 法检测半胱氨酸蛋白酶-3(Cysteinyl aspartate specific proteinase-3, Caspase-3)及 Notch 信号通路相关蛋白(受体 Notch1、配体蛋白 Jagged1、下游转录因子 Hes1)表达水平。**结果** 与 Sham 组比较, I/R 组小鼠脑组织细胞损伤严重, 神经功能缺损评分、脑梗死体积、神经细胞凋亡率、TNF- α 及 IL-6, Caspase-3, Notch1, Jagged1, Hes1 蛋白表达水平显著升高($P > 0.05$); 与 I/R 组比较, WOG-L 组、WOG-M 组、WOG-H 组小鼠脑组织细胞损伤减轻, 神经功能缺损评分、脑梗死体积、神经细胞凋亡率、TNF- α 及 IL-6, Caspase-3 蛋白表达水平显著降低, Notch1, Jagged1, Hes1 表达水平显著升高($P < 0.05$); 与 WOG-H 组比较, WOG + DAPT 组 DAPT 可部分逆转汉黄芩素对 I/R 组小鼠神经细胞的保护作用($P < 0.05$)。**结论** 汉黄芩素可以减少脑缺血/再灌注小鼠神经细胞的凋亡, 改善神经功能损伤, 其作用机制可能与激活 Notch 信号通路有关。

【关键词】 汉黄芩素 Notch 信号通路 脑缺血/再灌注 神经细胞 凋亡

【中图分类号】 R743.3 **【文献标识码】** A **【文章编号】** 1007-0478(2024)01-0008-06

【DOI】 10.3969/j.issn.1007-0478.2024.01.002

Impact of wogonin on neuronal apoptosis in a cerebral ischemia/reperfusion mouse model by regulating Notch signaling pathway Zhang Leguo*, Zhu Cuimin, Xia Ruixue*, et al. * Department of Neurology, Cangzhou Central Hospital, Cangzhou 061001

【Abstract】 Objective To investigate the impact of wogonin (WOG) on neuronal apoptosis in cerebral ischemia/reperfusion (I/R) mice by regulating Notch signaling pathway. **Methods** The I/R rat model was established by the modified thread plug method. After successful modeling, the mice were randomly grouped into Sham surgery group (Sham group), model group (I/R group), low, medium and high dose Wogonin groups (WOG-L group, WOG-M group, WOG-H group), and high dose Wogonin + Notch signaling pathway inhibitor group (WOG + DAPT group), with 15 mice in each group. The neurological deficit score was applied to evaluate neurological impairment in mice. Hematoxylin and eosin (HE) staining and terminal deoxynucleotidyl transferase (TdT)-mediated dUTP nick-end labeling (Tunel) staining were applied to observe the pathological changes and neuronal apoptosis in the CA1 region of the hippocampus in mice. The 2,3,5-triphenyltetrazolium chloride (TTC) staining method was applied to calculate the volume of cerebral infarction in mice. Enzyme-linked immunosorbent assay (ELISA) was applied to detect the levels of tumor necrosis factor- α (TNF- α) and interleukin 6 (IL-6) in the hippocampus. Western blot method was applied to detect the expression of cysteinyl

基金项目:河北省医学科学研究课题计划(编号为 20220371)

作者单位:061001 河北省沧州市中心医院神经内科(张乐国 夏瑞雪 贾建普 张丽冉 赵泽宇),宣传策划科(朱翠敏),门诊部(霍虹达),麻醉科(齐曼曼)

aspartate specific proteinase-3 (Caspase-3) and Notch signaling pathway related proteins (receptor Notch1, ligand protein Jagged1, downstream transcription factor Hes1). **Results** Compared with the Sham group, the cells of the I/R group mice were severely damaged. The neurological deficit score, cerebral infarction volume, neuronal apoptosis rate, TNF- α and IL-6 levels, Caspase-3, Notch1, Jagged1, and Hes1 protein expression were obviously increased ($P > 0.05$). Compared with the I/R group, the damage of cells in the WOG-L, WOG-M, and WOG-H groups was alleviated. And the neurological deficit score, cerebral infarction volume, neuronal apoptosis rate, TNF- α and IL-6 levels, and Caspase-3 protein expression were obviously reduced, while the expressions of Notch1, Jagged1, and Hes1 were obviously increased ($P < 0.05$). Compared with the WOG-H group, the experimental results in the WOG + DAPT group showed that DAPT could partially reverse the protective effect of Wogonin on neural cells in the I/R group ($P < 0.05$). **Conclusion** Wogonin can reduce the neuronal apoptosis and improve the neurological damage in mice with cerebral ischemia/reperfusion, and its mechanism may be related to the activation of Notch signaling pathway.

【Key words】 Wogonin Notch signaling pathway Cerebral ischemia/reperfusion Neural cells Apoptosis

脑卒中是脑血管疾病的一种,具有较高复发率、致残率、病死率三高特征^[1]。其中缺血性脑卒中占脑卒中的 80%左右,多发于中老年人群,近年来发病趋势逐渐年轻化^[2]。及时恢复脑灌注可改善患者预后,降低致残率和病死率,但血流再灌注不可避免地导致脑组织 2 次损伤,影响患者预后^[3],因此降低脑缺血/再灌注(I/R)损伤是改善患者预后的关键。寻找安全有效的治疗药物是目前缺血性脑卒中临床研究的热点。汉黄芩素(Wogonin, WOG)是提取于中药黄芩根部的一种类黄酮类化合物,已被证明具有抗炎、抗癌、抗氧化、扩张血管等^[4]多种药理活性。已有研究表明,汉黄芩素可以减少 I/R 大鼠神经细胞凋亡,减轻神经功能损伤^[5-6]。Notch 信号通路是由 Notch 受体、配体(DSL 蛋白)和胞内效应分子(结 CSL-DNA 合蛋白)构成,在神经元增殖分化中具有关键的调控作用^[7],Wang 等^[8]研究表明,Notch 信号通路激活可以促进脑卒中后神经功能的恢复。刘振等^[9]通过采用天麻素对脑卒中模型大鼠进行干预治疗,发现天麻素通过激活 Notch 信号通路而发挥对脑卒中模型大鼠的神经保护功能。目前汉黄芩素对 Notch 信号通路的作用,尚未有明确的报道。本研究采用改良线栓法建立脑缺血/再灌注小鼠模型,探究汉黄芩素对脑缺血/再灌注小鼠神经细胞凋亡的影响,以期为缺血性脑卒中临床治疗药物的开发提供一定的理论支持。

1 材料与方法

1.1 实验动物

无特殊病原体(Specific pathogen free, SPF)级

雄性小鼠,体质量 20 g 左右,购于北京百奥赛图基因生物技术有限公司,许可证号为 SCXK(京)2020-0007,适应性喂养 7 d 后用于实验。

1.2 主要试剂

汉黄芩素(IW0010)、Tunel 细胞凋亡试剂盒(T2195)、酶联免疫试剂盒 TNF- α (SEKR-0009), IL-6(SEKR-0005)购于北京索莱宝科技有限公司; Caspase-3(ab184787), Notch1(ab167441), Jagged1(ab300561), Hes1(ab108937), DAPT(ab120633)购于艾博抗(上海)有限公司。

1.3 方法

1.3.1 造模与分组

造模:小鼠禁水 4 h,禁食 12 h 后将小鼠进行深度麻醉,仰卧固定,暴露颈部皮肤,于颈部正中切开约 2 cm 切口,暴露右侧颈总动脉、颈外动脉、颈内动脉,近心端结扎颈总动脉、颈外动脉,血管夹夹闭颈内动脉,打开颈内动脉,插入线栓,局灶性缺血处理 2 h 后抽出线栓,缝合伤口,12 h 后通过 Longa 评分法评价小鼠神经功能,得分 1~3 分,则建模成功。假手术组(Sham 组)小鼠只进行动脉分离,不插入线栓。

分组:将建模成功的小鼠随机分为模型组(I/R 组)、汉黄芩素低、中、高剂量组(WOG-L 组、WOG-M 组、WOG-H 组)、汉黄芩素高剂量 + Notch 信号通路抑制剂组(WOG + DAPT 组),取未插入线栓小鼠为假手术组(Sham 组),每组各 15 只。WOG-L 组、WOG-M 组、WOG-H 组小鼠于术后第 12 h 分别灌胃汉黄芩素 7、14、28 mg/kg^[5],汉黄芩素高剂量 + Notch 信号通路抑制剂组(WOG + DAPT 组)

灌胃汉黄芩素 28 mg/kg + DAPT 140 mg/kg^[10]，Sham 组和 I/R 组灌胃等量生理盐水，1 次/d，连续灌胃 14 d。

1.3.2 神经功能损伤评价

采用 Longa 评分法评估小鼠神经功能：无神经功能障碍，记为 0 分；提尾时对侧前肢屈曲，记为 1 分；活动时身体向瘫痪侧倾斜或转圈，记为 2 分；活动时身体向瘫痪侧摔倒，记为 3 分；无自主活动意识，记为 4 分。

1.3.3 观察病理组织

各组随机选取 5 只小鼠，麻醉后断头处死，迅速取出脑组织，洗去表面浮血，滤纸吸干水份，使用 4% 多聚甲醛冰上固定、70% 乙醇溶液脱水、石蜡包埋，进行冠状位切片（5 μm 厚度）、烤片，HE 染色液染色 10 min，洗去多余染色液，二甲苯、乙醇脱水处理至透明，封片，在光学显微镜下观察海马 CA1 区神经细胞形态。

1.3.4 观察神经细胞凋亡

取 1.3.3 中石蜡切片，以原位末端标记法（Tunel）检测神经细胞凋亡，根据 Tunel 试剂盒说明书对切片进行处理，二脒基苯基吲哚（Diamidino phenyl indole, DAPI）复染细胞核；在 400 倍光学显微镜下随机选取 5 个视野，观察海马 CA1 区神经细胞凋亡情况并计算凋亡率。

1.3.5 计算脑梗死体积

各组随机选取 5 只小鼠，麻醉后断头处死，取出完整脑组织，-20 °C 冷冻 30 min，便于切片操作；冠状位切片，厚度约为 2 mm，将切片浸入 2,3,5 三苯基氯化四氮唑（TTC）染液中，37 °C 避光染色 20 min；使用 Image J 软件进行分析并计算脑梗死体积百分比。

1.3.6 TNF-α、IL-6 水平检测

各组剩余 5 只小鼠，麻醉后断头处死，选取海马 CA1 区脑组织，冰上匀浆处理后 4500 r/min 离心 20 min，取上清液，一部分根据 ELISA 试剂盒操作说明书检测海马组织 TNF-α, IL-6 水平；另一部分用于 Western blot 检测。

1.3.7 Caspase-3 及 Notch 信号通路相关蛋白表达水平检测

取 1.3.6 中蛋白样本，测定总蛋白，经凝胶电泳、转膜，加入 5% 脱脂乳粉溶液，4 °C 封闭 60 min，加入一抗 Caspase-3(1:1000), Notch(1:1000), Jag-

ged1(1:1000), Hes1(1:1000)，4 °C 孵育 12 h，加入对应二抗(1:1000)，室温孵育 90 min；磷酸盐缓冲液(Phosphate buffered saline, PBS)洗涤 3 次，增强化学发光剂(Enhanced chemiluminescence, ECL)曝光处理，使用 ImageJ 软件对灰度值进行定量分析。

1.3.8 统计学处理

使用 SPSS 20.0；实验数据符合正态分布以均数±标准差($\bar{x} \pm s$)表示，多组间比较采用单因素方差分析，组间比较进行 SNK-q 检验，以 $P < 0.05$ 为差异有统计学意义。

2 结 果

2.1 汉黄芩素对 I/R 小鼠神经功能缺损评分的影响

如表 1 所示，相比于 Sham 组，I/R 组小鼠神经功能缺损评分明显提高($P < 0.05$)；相比于 I/R 组，WOG-L 组、WOG-M 组、WOG-H 组小鼠神经功能缺损评分明显降低，呈药物依赖效应($P < 0.05$)；相比于 WOG-H 组，WOG + DAPT 组小鼠神经功能缺损评分明显提高($P < 0.05$)。

表 1 各组小鼠神经功能缺损评分比较 ($\bar{x} \pm s, n = 15$, 分)

组别	神经功能缺损评分	
	给药前	给药 14 d 后
Sham 组	0.00 ± 0.00	0.00 ± 0.00
I/R 组	2.52 ± 0.22 [*]	3.12 ± 0.30 [*]
WOG-L 组	2.49 ± 0.21 [*]	2.33 ± 0.21 ^{*△}
WOG-M 组	2.56 ± 0.22 [*]	1.82 ± 0.18 ^{*△#}
WOG-H 组	2.45 ± 0.21 [*]	1.34 ± 0.13 ^{*△#▽}
WOG + DAPT 组	2.55 ± 0.22 [*]	2.46 ± 0.22 [▲]

注：与 Sham 组比较，^{*} $P < 0.05$ ；与 I/R 比较，[△] $P < 0.05$ ；与 WOG-L 组比较，[#] $P < 0.05$ ；与 WOG-M 组比较，[▽] $P < 0.05$ ；与 WOG-H 组比较，[▲] $P < 0.05$

2.2 汉黄芩素对 I/R 小鼠海马 CA1 区组织病理情况的影响

如图 1 所示，Sham 组小鼠脑组织神经细胞排列整齐紧密、形态规则完整、核仁圆润清晰，未见炎症细胞浸润；I/R 组细胞排列松散紊乱、轮廓模糊、细胞核固缩，可见大量炎症细胞浸润，脑组织损伤严重；相比于 I/R 组，WOG-L 组、WOG-M 组、WOG-H 组神经细胞数目逐渐增多，边界相对清晰，炎症细胞减少，损伤减轻；相比于 WOG-H 组，WOG + DAPT 组神经细胞数量减少，细胞结构破坏严重，可见大量炎症细胞。

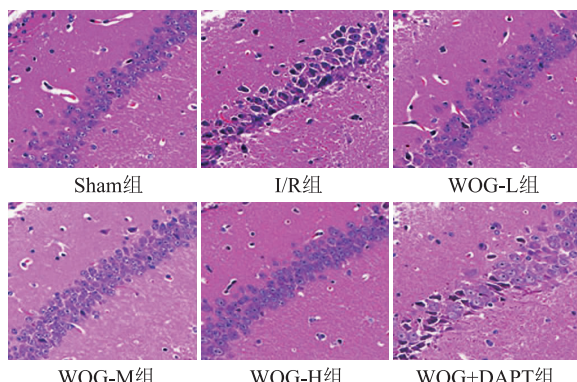


图 1 HE 染色观察小鼠海马 CA1 区病理情况 ($\times 400$ 倍)

2.3 汉黄芩素对 I/R 小鼠海马 CA1 区神经细胞凋亡的影响

如图 2、表 2 所示, Sham 组可见少量红色细胞核(Tunel 阳性细胞);相比于 Sham 组,I/R 组红色区域显著增加,小鼠海马神经细胞凋亡率显著升高($P<0.05$);相比于 I/R 组,WOG-L 组、WOG-M 组、WOG-H 组小鼠海马神经细胞凋亡率显著降低($P<0.05$);相比于 WOG-H 组,WOG + DAPT 组小鼠海马神经细胞凋亡率明显提高($P<0.05$)。

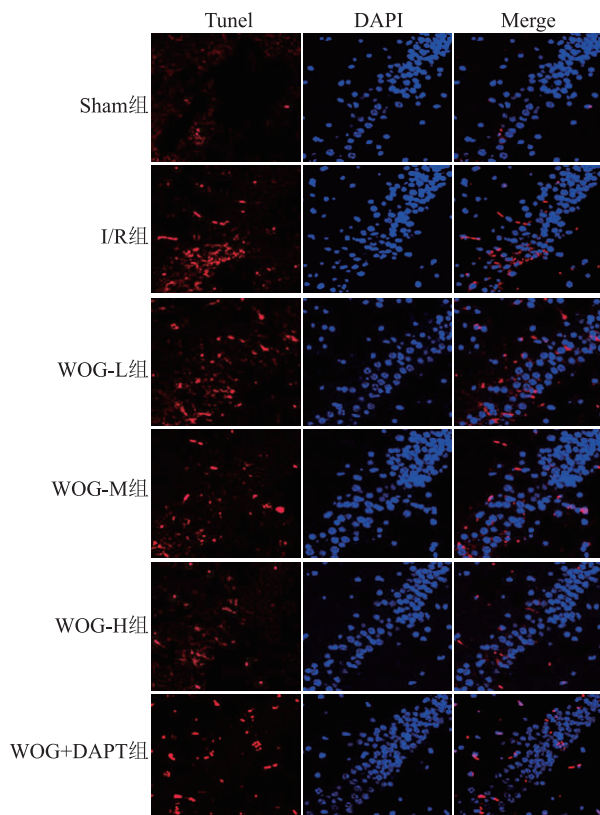


图 2 Tunel 染色观察小鼠海马 CA1 区神经细胞凋亡情况 ($\times 400$ 倍)

表 2 各组小鼠海马 CA1 区神经细胞凋亡率比较($\bar{x}\pm s, n=15, \%$)

组别	神经细胞凋亡率
Sham 组	3.42 ± 0.58
I/R 组	$28.65\pm 1.94^*$
WOG-L 组	$23.17\pm 1.70^{\triangle}$
WOG-M 组	$18.54\pm 1.24^{\triangle\#}$
WOG-H 组	$12.46\pm 0.96^{\triangle\#\triangledown}$
WOG + DAPT 组	$21.55\pm 1.62^{\blacktriangle}$

注:与 Sham 组比较, * $P<0.05$;与 I/R 比较, $\triangle P<0.05$;与 WOG-L 组比较, $\# P<0.05$;与 WOG-M 组比较, $\triangledown P<0.05$;与 WOG-H 组比较, $\blacktriangle P<0.05$

2.4 汉黄芩素对 I/R 小鼠脑梗死体积的影响

如图 3、表 3 所示,Sham 组未见明显梗死区;相比于 Sham 组,I/R 组小鼠脑梗死体积显著升高($P<0.05$);相比于 I/R 组,WOG-L 组、WOG-M 组、WOG-H 组小鼠脑梗死体积呈药物剂量依赖性降低($P<0.05$);相比于 WOG-H 组,WOG + DAPT 组小鼠脑梗死体积明显提高($P<0.05$)。



图 3 TTC 染色观察小鼠脑梗死体积

表 3 各组小鼠脑梗死体积比较($\bar{x}\pm s, n=15, \%$)

组别	脑梗死体积
Sham 组	0.00 ± 0.00
I/R 组	$27.85\pm 1.88^{\triangle}$
WOG-L 组	$22.64\pm 1.75^{\triangle}$
WOG-M 组	$17.56\pm 1.35^{\triangle\#}$
WOG-H 组	$13.28\pm 1.06^{\triangle\#\triangledown}$
WOG + DAPT 组	$20.15\pm 1.52^{\blacktriangle}$

注:与 Sham 组比较, * $P<0.05$;与 I/R 比较, $\triangle P<0.05$;与 WOG-L 组比较, $\# P<0.05$;与 WOG-M 组比较, $\triangledown P<0.05$;与 WOG-H 组比较, $\blacktriangle P<0.05$

2.5 汉黄芩素对 I/R 小鼠脑组织 TNF- α , IL-6 水平的影响

如表 4 所示,相比于 Sham 组,I/R 组小鼠脑组织 TNF- α ,IL-6 水平显著升高($P<0.05$);相比于 I/

R 组, WOG-L 组、WOG-M 组、WOG-H 组小鼠脑组织 TNF- α , IL-6 水平逐渐降低 ($P < 0.05$); 相比于 WOG-H 组, WOG + DAPT 组小鼠脑组织 TNF- α , IL-6 水平显著提高 ($P < 0.05$)。

表 4 各组小鼠脑组织 TNF- α , IL-6 水平的比较 ($\bar{x} \pm s, n = 15$)

组别	TNF- α (pg/mL)	IL-6(ng/mL)
Sham 组	23.54 ± 2.04	0.31 ± 0.02
I/R 组	72.29 ± 6.26*	0.96 ± 0.08*
WOG-L 组	59.56 ± 4.08△	0.78 ± 0.06△
WOG-M 组	45.02 ± 3.54△#	0.59 ± 0.05△#
WOG-H 组	31.88 ± 2.25△#▽	0.42 ± 0.04△#▽
WOG + DAPT 组	56.21 ± 5.20▲	0.74 ± 0.06▲

注:与 Sham 组比较, * $P < 0.05$; 与 I/R 比较, △ $P < 0.05$; 与 WOG-L 组比较, # $P < 0.05$; 与 WOG-M 组比较, ▽ $P < 0.05$; 与 WOG-H 组比较, ▲ $P < 0.05$

2.6 汉黄芩素对 I/R 小鼠脑组织 Caspase-3 及 Notch 信号通路相关蛋白表达水平的影响

如图 4、表 5 所示,相比于 Sham 组, I/R 组小鼠脑组织 Caspase-3, Notch1, Jagged1, Hes1 表达水平均显著升高 ($P < 0.05$); 相比于 I/R 组, WOG-L 组、WOG-M 组、WOG-H 组小鼠脑组织 Caspase-3 表达水平显著降低, Notch1, Jagged1, Hes1 表达水平依次升高 ($P < 0.05$); 相比于 WOG-H 组, WOG + DAPT 组小鼠脑组织 Caspase-3 表达水平显著升高, Notch1, Jagged1, Hes1 表达水平显著降低 ($P < 0.05$)。

3 讨论

缺血性脑卒中是因脑部血流不畅引起的一种急性脑血管疾病, 及时疏通血管, 恢复供血, 可以促进神经功能的修复, 但脑缺血/再灌注可再次严重损伤脑组织, 引起其它并发症, 如肾功能衰竭、肺部感染、脑心综合征等, 甚至危及患者生命^[11-12]。因此, 缓解脑缺血/再灌注损伤已成为缺血性脑卒中研究的重点。神经细胞凋亡是脑组织损伤的重要病理过程,

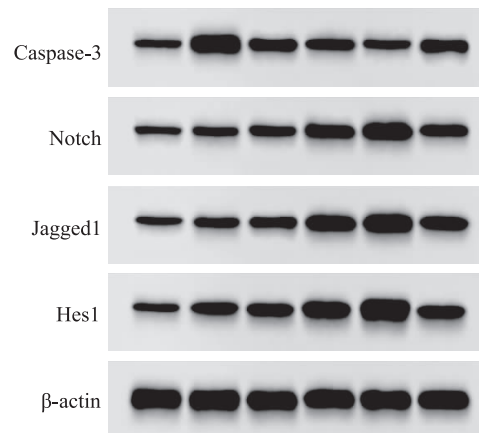


图 4 小鼠脑组织 Caspase-3, Notch1, Jagged1, Hes1 表达水平的比较 A 为 Sham 组; B 为 I/R 组; C 为 WOG-L 组; D 为 WOG-M 组; E 为 WOG-H 组; F 为 WOG + DAPT 组

减少神经细胞的凋亡是保护神经功能的主要措施之一。胱氨酸天冬氨酸特异性蛋白酶(Caspase-3)是“蛋白凋亡酶”家族的一员, 是细胞凋亡的起点, 可以抑制 DNA 的复制、转录和损伤修复功能, 最终导致细胞凋亡^[13]; 细胞凋亡进一步促进炎症因子的释放, 加重组织损伤。汉黄芩素作为一种药用植物类黄酮, 具有广泛的药理作用, 可以作为一种神经保护剂, 抑制炎症介质的产生及神经细胞凋亡^[14]。本实验结果显示, 汉黄芩素干预后脑缺血/再灌注小鼠神经功能缺损明显得到改善, Caspase-3 蛋白表达、TNF- α , IL-6 水平显著下调, 神经细胞凋亡率降低, 脑梗死体积缩小, 脑组织海马 CA1 区病理损伤减轻。此结果提示, 汉黄芩素可以减少脑缺血/再灌注小鼠神经细胞的凋亡, 对小鼠神经功能具有一定的保护作用。

Notch 信号通路由 Notch 受体(如 Notch1)、配体(DSL 蛋白, 如 Jagged-1)和胞内效应分子(结合 CSL-DNA 合蛋白, 如 Hes1)构成, 在哺乳动物的脑皮层和海马神经元中均有表达, 可以平衡神经干细

表 5 各组小鼠脑组织 Caspase-3, Notch1, Jagged1, Hes1 表达水平的比较 ($\bar{x} \pm s, n = 15$)

组别	caspase-3	Notch1	Jagged1	Hes1
Sham 组	0.35 ± 0.03	0.37 ± 0.03	0.41 ± 0.03	0.46 ± 0.04
I/R 组	0.92 ± 0.08*	0.49 ± 0.04*	0.55 ± 0.04*	0.60 ± 0.05*
WOG-L 组	0.76 ± 0.06△	0.63 ± 0.06△	0.70 ± 0.07△	0.75 ± 0.07△
WOG-M 组	0.62 ± 0.05△#	0.84 ± 0.07△#	0.92 ± 0.09△#	0.98 ± 0.09△#
WOG-H 组	0.49 ± 0.04△#▽	1.07 ± 0.10△#▽	1.13 ± 0.10△#▽	1.30 ± 0.11△#▽
WOG + DAPT 组	0.73 ± 0.06▲	0.64 ± 0.06▲	0.72 ± 0.07▲	0.61 ± 0.06▲

注:与 Sham 组比较, * $P < 0.05$; 与 I/R 比较, △ $P < 0.05$; 与 WOG-L 组比较, # $P < 0.05$; 与 WOG-M 组比较, ▽ $P < 0.05$; 与 WOG-H 组比较, ▲ $P < 0.05$

胞的增殖、分化与凋亡,对神经系统的发育具有重要的调控作用^[15-16]。Notch1 受体与配体 Jageed-1 结合进入细胞核,作用于 Hes1 等,通过促进下游基因的表达,调控神经干细胞的增殖与分化^[17]。苏明珠等^[18]研究发现,Notch 信号通路的激活可以促进神经细胞的分化,修复缺血后神经元的损伤;房裕钞等^[19]研究表明,通过 miR-155 缺失上调 Notch 信号通路相关蛋白表达可以缓解脑缺血/再灌注损伤。本研究结果显示,脑缺血/再灌注后通路相关蛋白 Notch1,Jageed-1,Hes1 表达水平显著升高,表明机体可以内源性激活 Notch 信号通路,缓解损伤;汉黄芩素对脑缺血/再灌注模型小鼠干预后 Notch 信号通路被进一步激活,神经细胞凋亡率明显降低,神经功能损伤减轻;为了进一步验证汉黄芩素对神经功能的保护作用与 Notch 信号通路的激活相关,本研究同时使用汉黄芩素与 Notch 信号通路抑制剂(DAPT)干预脑缺血/再灌注模型小鼠,结果表明 DAPT 可以逆转汉黄芩素对小鼠神经功能的保护作用,表明汉黄芩素可能通过激活 Notch 信号通路来抑制脑缺血/再灌注模型小鼠神经细胞的凋亡,对神经系统具有一定的保护作用。

综上所述,汉黄芩素可以减少脑缺血/再灌注模型小鼠神经细胞的凋亡,其作用机制可能与 Notch 信号通路的激活有关。但脑缺血/再灌注脑损伤的病理机制复杂,还需进一步探究。

参 考 文 献

- [1] Kim KA, Kim D, Kim JH, et al. Autophagy-mediated occludin degradation contributes to blood-brain barrier disruption during ischemia in Bend. 3 brain endothelial cells and rat ischemic stroke models[J]. Fluids Barriers CNS, 2020, 17(1): 21.
- [2] Xian Y, Xu HL, O'Brien EC, et al. Clinical effectiveness of direct oral anticoagulants vs warfarin in older patients with atrial fibrillation and ischemic stroke: findings from the patient-centered research into outcomes stroke patients prefer and effectiveness research (PROSPER) study[J]. JAMA Neurol, 2019, 76(10): 1192-1202.
- [3] 周宇,李斌,马勇,等.环状 RNA 在调控脑缺血再灌注损伤中的作用研究进展[J].中华神经医学杂志,2023,22(5):523-528.
- [4] Zheng ZC, Zhu W, Lei L, et al. Wogonin ameliorates renal inflammation and fibrosis by inhibiting NF-κB and TGF-β1/Smad3 signaling pathways in diabetic nephropathy[J]. Drug Des Devel Ther, 2020, 14: 4135-4148.
- [5] Kong ZH, Shen QL, Jiang J, et al. Wogonin improves functional neuroprotection for acute cerebral ischemia in rats by promoting angiogenesis via TGF-β1[J]. Ann Transl Med, 2019, 7(22): 639.
- [6] Umemoto Y, Patel A, Huynh T, et al. Wogonin attenuates the deleterious effects of traumatic brain injury in anesthetized Wistar rats[J]. Eur J Pharmacol, 2019, 848: 121-130.
- [7] Yan YH, Kong L, Xia Y, et al. Osthole promotes endogenous neural stem cell proliferation and improved neurological function through Notch signaling pathway in mice acute mechanical brain injury[J]. Brain Behav Immun, 2018, 67: 118-129.
- [8] Wang J, Cao B, Zhao HP, et al. Long noncoding RNA H19 prevents neurogenesis in ischemic stroke through p53/Notch1 pathway[J]. Brain Res Bull, 2019, 150: 111-117.
- [9] 刘振,张磊,胡灿芳,等.天麻素通过调节 miR-155 介导的 Notch 通路对脑卒中大鼠发挥神经保护作用[J].国际医药卫生导报,2022,28(1):2-7.
- [10] 金朝,郭培培,杨新,等.鸢尾素预处理激活 Notch 信号通路减轻大鼠全脑缺血-再灌注损伤[J].临床麻醉学杂志,2021,37(1):66-71.
- [11] Zhai ZY, Feng J. Constraint-induced movement therapy enhances angiogenesis and neurogenesis after cerebral ischemia/reperfusion[J]. Neural Regen Res, 2019, 14(10): 1743-1754.
- [12] 冯青锋,王纵,李力,等.脑源性神经营养因子对脑缺血再灌注损伤的影响[J].中华实验外科杂志,2023,40(4):671-674.
- [13] Zhao W, Li HX, Hou Y, et al. Combined administration of Poly-ADP-ribose polymerase-1 and caspase-3 inhibitors alleviates neuronal apoptosis after spinal cord injury in rats[J]. World Neurosurg, 2019, 127: e346-e352.
- [14] Feng Y, Ju YR, Yan ZJ, et al. Protective role of wogonin following traumatic brain injury by reducing oxidative stress and apoptosis via the PI3K/Nrf2/HO-1 pathway[J]. Int J Mol Med, 2022, 49(4): 53.
- [15] Wissel S, Harzer H, Bonnay F, et al. Time-resolved transcriptomics in neural stem cells identifies a v-ATPase/Notch regulatory loop[J]. J Cell Biol, 2018, 217(9): 3285-3300.
- [16] Engler A, Zhang RR, Taylor V. Notch and neurogenesis[J]. Adv Exp Med Biol, 2018, 1066: 223-234.
- [17] Zhang RR, Engler A, Taylor V. Notch: an interactive player in neurogenesis and disease[J]. Cell Tissue Res, 2018, 371(1): 73-89.
- [18] 苏明珠,马跃文.放散式冲击波通过 Notch1/Hes1 通路调节脑缺血后海马组织中神经干细胞的增殖与分化[J].中国组织工程研究,2021,25(19):3009-3015.
- [19] 房裕钞,王黎洲,黄学卿,等.微小 RNA-155 通过 Notch 信号通路对脑缺血-再灌注损伤的影响[J].介入放射学杂志,2019,28(7):661-668.

(2023-06-21 收稿)